

- 20) 金京根, 金鎔模, 各種 이젝터의 國產化 開發과 產業用 에너지 節約 시스템의 응용, 熱流體 機資材展示會 講演資料 (1987)
- 21) 金京根, 小型 블랙트한 廢熱利用式 造水器 開發, 科學技術處 特定研究開發報告書, 160 ~ 4836 (1987)
- 22) 一色尚次, 廢熱利用 システムの 實務便覽 富士技術システム社 (1984)
- 23) 金京根, 이젝터를 利用한 真空泵 / 空氣壓縮器 兼用시스템의 開發 科學技術處 特定研究開發 研究計劃書 提出中 (1988)
- 24) 紋り機構による 流量測定方法, J I S Z - 8762 (1987)
- 25) JSME Data Book (Heat Transfer), 4th Edition, Marusen Book Co. (1986)
- 26) 金京根, 氣液二相流, 太和出版社 (1986)
- 27) O.Baker, Simultaneous Flow of Gas and Oil, Oil Gas J., p.53 (1954)
- 28) J.M.Mandhane, G.A.Gregory & K.Aziz, A Flow pattern map for Gas-Liquid Flow in Horizontal Pipes, Int.J.Multiphase Flow, 1-4, p.537-553 (1974)

# 모드解析法에 依한 分技를 갖는 推進軸系의 合成비틀림振動計算에 關한 研究

A Study on the Calculation of Synthesized Torsional Vibration for Branched  
propulsion Shafting System by the Modal Analysis Method

玉 裕 寛



.....〈目 次〉 .....

Abstract	4. 電算프로그램
記號說明	5. 實際軸系의 計算과 計測結果의 比較検討
1. 序論	5.1 計算モデル 및 入力資料
2. 基礎理論	5.2 振動計算結果
2.1 增減速回轉軸系의 等價振動系	5.3 實測結果와 計算結果와의 比較検討
2.2 多基一軸系의 多自由度強制減衰振動	6. 結論
3. 모드解析法에 의한 分技軸系振動計算	参考文献

## ABSTRACT

With the trend towards ship's economical operation by saving initial installation costs and maintenance expenses and also lowering high energy consumption, the multi-branched shafting systems with shaft driving generators or hydraulic power packages are widely adopted to utilize the power of main engine under the sea going condition.

In addition, the vessel which equips with multi-engines coupled with one shafting system to get higher output has frequently been built in the yard.

However such a branched shafting system has a very intricited vibrating system and also its analyzing method is very different from the ordinary method for the simple straight system.

In this paper, the equation of forced torsional vibration with damping for the multi-engines coupled with one shafting system is derived and its vibrating characteristics are investigated by modal analysis method.

A computer program is developed to get responses of the forced vibration with damping and the results are synthesized to get resultant responses. The calculated results are compared with those of measured ones for an actual ship and they show a good agreements.

記號說明

$A_r$  : r 番째 起振力벡터項의  $\cos J_{n+1}$  : 分枝共有點에서의 質量慣性

## 成分係數合 모멘트

$B_r$  : r 番째 起振力 벡터 項의  $\sin$  K : 비틀림 剛性 係數

成分係數合  $K_c$  : 等價비 틀림剛性係數

$C, C'$  : 相對 및 絶對減衰係數       $K_r, K_g$  : 基準軸 및 分枝軸의 비를

$C_a$ ,  $C_{co}$  : 發電機 및 弹性커플링 림剛性係數

減衰係數  $K_{c_0}$  : 커플링要素의 動的비틀림스프링

$C_a, C_b, C_p$  : 機關, 히스테리시스 定數

및 프로펠러 減衰係數 mi : 分枝軸의 數

$D_r$  :  $A_r$  및  $B_r$  의 合成值 N : 分當回轉數

$F$  : 傳達力       $N_r, N_e$  : 基準軸      및      分枝軸의 回轉

$f_i$  : i 次의 起振力하모닉스 系數 速度

에 의하 起振力  $N_e$  : 發電機軸의 回轉速度

I : 機關型에 對하 機關減衰<sup>(\*)</sup> 補 n : 齒數比

正係數  $n_a, n_b, n_c$  : 各分枝軸의 質點數

$J_e$  : 質量慣性モ멘트       $Q_r$  : 一般座標系에서의 振動振幅

$J$  : 等價質量慣性모멘트       $R_r, R_g$  : Gearwheel 및 Pinion 의

$J_x, J_z$  : 基準軸 및 分枝軸의 質  
교차圓半徑

量慣性모멘트  $T_a$  : 發電機軸의 負荷토오크

呈正解法에 依한 分枝을 考는 推進軸系의 合成 바틀림振動計算에 關한 研究

$T_r, T_g$  : 基準軸 및 分枝軸의 且  $\{q\}$  : 振動振幅의 一般座標벡터

$\Omega_r, \Omega_g$  :  $\{q\}$  : 巴特林振幅벡터

$T_p$  : 프로펠러의 周率

$[V]$  : 振動型매트릭스

$U_e, U_g$  : 等價軸 및 分枝軸의

$[V]^T$  :  $[V]$  的 轉置매트릭스

變形에너지

$\alpha_k$  : k 番째 실린더의 基準실린더에

$V_e, V_g$  : 等價軸 및 分枝軸의

對한 着火位相角

運動에너지

$\alpha_b, \alpha_c$  : 機關減衰의 補正係數

$\omega, \omega_i$  : 固有角振動數 및 起振力  $\alpha_a, \alpha_p$  : 發電機 및 프로펠러減衰

角振動數

補正係數

$\omega_r$  : r 次의 固有角振動數  $\beta_i$  : 基準次數의 하모닉스에 對한

$\omega_p$  : 프로펠러軸의 角速度 i 次 起振力 位相角

$\Omega_r, \Omega_g$  : 基準軸 및 分枝軸의

$\epsilon$  : 減衰係數比

角速度

$\theta_r, \theta_g$  : 基準軸 및 分枝軸의 振動

$[C]$  : 減衰係數매트릭스

振幅

$[\bar{C}]$  :  $[C]$  的 對角매트릭스

$\theta_{not}$  : 分枝共有點에서의 質點角變位

$[J]$  : 質量慣性모멘트매트릭스

$\nu$  : 彈性커플링 損失係數

$[m]$  :  $[J]$  的 對角매트릭스

## 1. 序論

두 차례의 油類波動以後 初期投資, 運航에너지 및 人力節減을 通해서 船舶을 經濟的으로 運航하려는 趨勢에 따라 推進軸系에 있어 서는 主機關의 推進에너지의 一部를 PTO(Power Take-off) 기어를 通해 軸驅動發電機, 또는 油壓動力裝置(Hydraulic power Package)를 直接 驅動시키는데 使用하고 있으며 主機의 境遇에는 減速齒車나 彈性커플링 을 利用하여 二臺 以上의 低速大形高出力디젤機艤을 結合하여 推進效率增大 및 大出力を 얻을 수 있는 船舶이 頻繁하게 建造되고 있다.

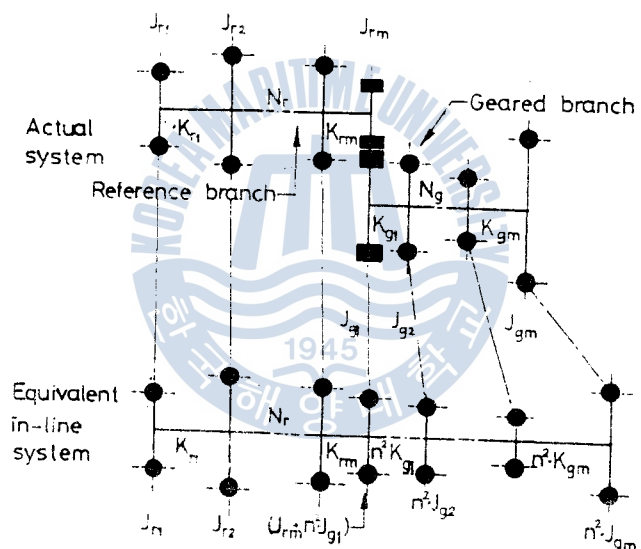
그러나 이러한 推進軸系는 單一推進軸系에 比해 複雑한 振動系를 形成하고 있을 뿐만 아니라, 減速齒車의 채터링(Chattering), 低質油使用에 따른 着火失敗로 인한 急激한 토오크變動등 從來의 單一推進軸系裝置에 對한 振動解析法과는 다른 解析法에 의해 다루어야 하는 어려움이 있다.

本 論文에서는 二基一軸式 分枝軸系裝置의 強制비틀림振動과 合成振動을 모드解析法에 의해 理論的으로 解析하고 이 解析의 内容을 바탕으로 數值計算이 可能한 電算프로그램을 開發하였다. 開發된 電算프로그램의 信賴性을 確認하기 為하여 實船의 現場實測結果와 計算結果를 比較検討하였다.

## 2. 基礎理論

### 2·1 增減速回轉軸系의 等價振動系

增減速齒車를 갖는 分枝軸系는 複雜한 系로 이루어져 있고 서로 다른 速度로 回轉하는 分枝軸이 存在하므로, 基準回轉速度(一般的으로 機關回轉速度를 擇하는 것이 便理하다)에 對해 系全體를 動力學的으로 等價가 되는 等價系로 換算하여 다룬다.



$J_r$ : Moment of inertia of mass on reference shaft

$J_g$ : Moment of inertia of mass on branched shaft

$K_r$ : Torsional stiffness on reference shaft

$K_g$ : Torsional stiffness on branched shaft

$N_r$ : RPM of reference shaft,  $N_g$ : RPM of branched shaft

Fig.1. The branched system rotating with different speed.

增減速齒車部의 角變位, 角速度 및 回轉數의 關係로부터

$$T_r = R_r \cdot F, \quad T_g = R_g \cdot F$$

여기서  $T_r$  : 基準軸의 토오크 ( $\text{Kg} \cdot \text{cm}$ ) ,  $T_g$  : 分枝軸의 토오크 ( $\text{Kg} \cdot \text{cm}$ )

$R_r$  : Gearwheel 의 피치圆半徑,  $R_g$  : Pinion 의 피치圆半徑

F : 傳達力 (Kg)

맞물린 齒車에 같은 힘이作用하므로 다음의 結果를 얻게 된다.

$$T_r / T_g = R_r / R_g = \theta_g / \theta_r = \Omega_g / \Omega_r = N_g / N_r = n \dots \dots (1)$$

여기서  $\theta_r$  : 基準軸의 振動振幅,  $\theta_s$  : 分枝軸의 振動振幅

$\Omega_r$  : 基準軸의 角速度,  $\Omega_g$  : 分枝軸의 角速度

$n$ ：齒數比

分枝軸의 비틀림剛性係數( $K_g$ ) 및 等價비틀림剛性係數( $K_e$ )에 對한 變形에너지는

$$U_g = 1/2 (K_g \theta_g^2) \quad \dots \dots \dots \quad (2)$$

$$U_e = 1/2 (K_e \theta_e^2) \quad \dots \dots \dots \quad (3)$$

式(2), (3) 및 式(1)로부터 等價비를 림剛性係數가 求해진다.

$$K_e = K_g (\theta_g / \theta_e)^2 = K_g (N_g / N_r)^2 = K_g n^2$$

質量慣性모멘트( $J_g$ ) 및 等價質量慣性모멘트( $J_e$ )에 對한 運動에너지는

$$V_s = 1/2 ( J_s \Omega_s^2 ) \quad \dots \dots \dots \quad (4)$$

$$V_e = 1/2 (J_e - \Omega_e^2) \quad \dots \dots \dots \quad (5)$$

式(4), (5) 및 式(1)로부터 等價質量慣性모멘트가 求해진다.

$$J_e = J_e (\Omega_e / \Omega_s)^2 = J_s n^2$$

以上의 結果를 要約하여 Table 1에 나타내었다.

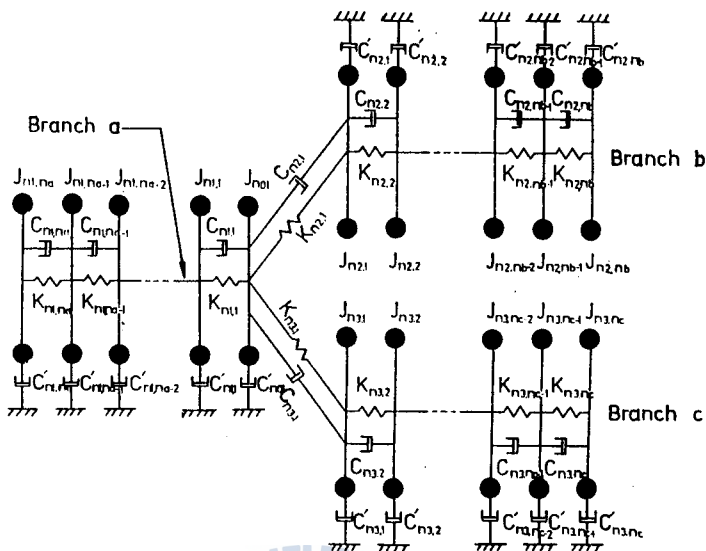
Table 1. Equivalent quantities of branched system

Quantity	Reference branch actual value	Geared branch	
		Actual value	Value referred to rpm of reference branch
R . P . M .	$N_r$	$N_g$	$N_g/n$
Order number	$i_r$	$i_g$	$n i_g$
Moment of inertia	$J_r$	$J_g$	$n^2 J_g$
Torsional stiffness	$K_r$	$K_g$	$n^2 K_g$
Torque	$T_r$	$T_g$	$n T_g$
Damping coefficent	$C_r$	$C_g$	$n^2 C_g$
Amplitude	$\theta_r$	$\theta_g$	$\theta_g/n$

## 2·2 多基一軸系의 多自由度強制減衰비틀림振動方程式

## 2·2·1 二基一軸系의 強制減衰비틀림振動方程式

Fig. 2에 나타난 바와 같이 3개의 分枝는 각각  $n_a, n_b, n_c$  개의 質點으로 이루어져 있으며 이들 分枝系에 對한 振動方程式은 다음과 같이 区分하여 쓸 수 있다.



$J$  : Moment of inertia ,  $C$  : Relative damping  
 $C'$  : Absolute damping ,  $K$  : Torsional stiffness

Fig. 2 The multi-branched shafting system

### 1) 分枝共有點에서의 式

$$J_{no1} \ddot{\theta}_{no1} + \sum_{k=1}^{mi} K_{nk,1} (\theta_{no1} - \theta_{nk,1}) + C'_{no1} \dot{\theta}_{no1} + \sum_{k=1}^{mi} C_{nk,1} (\dot{\theta}_{no1} - \dot{\theta}_{nk,1}) = f_{no1} \quad \dots \dots \dots (6)$$

여기서  $mi$  : 分枝數

$\theta_{no1}$  : 分枝共有點에서의 振幅

### 2) 各分枝에서의 一般式

$$\begin{aligned} & J_{ni,j} \ddot{\theta}_{ni,j} + K_{ni,1} (\theta_{ni,1} - \theta_{no1}) + K_{ni,j+1} (\theta_{ni,j} - \theta_{ni,j+1}) \\ & + C_{ni,1} (\dot{\theta}_{no1} - \dot{\theta}_{ni,1}) + C_{ni,j+1} (\dot{\theta}_{ni,j} - \dot{\theta}_{ni,j+1}) + C'_{ni,1} \dot{\theta}_{ni,j} = f_{ni,j}(t) \end{aligned} \quad \dots \dots \dots (7)$$

이 가사 *ni* 乃 分 枝 番 號 를 나타내는 添 字

i : i 番 分枝의 j 番째 質點에 對한 添字

式(6)과 式(7)等으로 表示되는 모든 式을 모아서 매트릭스形式

으로 표시하면 다음과 같다.

$$[ \ddot{C} ] \{ \ddot{\Theta} \} + [ C ] \{ \dot{\Theta} \} + [ K ] \{ \Theta \} = \{ f(t) \} \quad \dots \dots \dots \quad (8)$$

된, 여기서  $[J]$ ,  $[C]$ ,  $[K]$ 는 각각 質量慣性矩矩, 減衰係數矩阵, 阻尼率 및 바타임剛性係數矩阵이면  $n$ 自由度에 對해  $n$ 次의 正力배열을 초기 위치  $\{\bar{\theta}\}$ 와  $\{\ddot{\theta}\}$ 에 時間  $t$ 에 關한 1次, 2次導函數벡터이며  $\{f(t)\}$ 는 Fourier級數로 表示可能한 任意의 起振力벡터이다.

### 3.2.2 質量慣性 모멘트 벡터립스

質量慣性主軸을 주 대각선에 놓을 때는 대각선에 대한  
이익이다. 이는質量慣性主軸中에 있는 問題가 되는 要素  
는 面積계수와 附加水質量慣性主軸이며 이를 附加水效果를 理論的  
으로 計算한 수 있는 式은 Schuster, Schwanecke 및 Thomsen 等이 發  
表하였다. 實際面積계수의 附加水效果는 위의 式으로 計算한 結果에  
따라서 普通黃銅材料에 對于外는 大略 20 ~ 30 %, 나쁜 알루미늄  
이나 鋅 30 ~ 35 %, 鋅 50 %

그림 5-10 대로 40 ~ 60 %의附加水質量을考慮하여計算한다.

## 2·2·3 減衰係數매트릭스

推進軸系 비틀림振動計算에 있어서 가장 不確實한 要素는 減衰이며, 피스톤과 라이너의 摩擦抵抗, 潤滑作用 等 定量的 把握이 거의不可能한 많은 因子를 包含하기 때문에 速度比例形減衰와 隣接質點의 變位에 比例하는 變位比例形減衰로 크게 區分한다.

여기서 速度比例形減衰는 機關, 프로펠러, 램퍼 및 發電機 等이며 變位比例形減衰는 軸하스테리시스, 彈性커플링 等이다.

## 1) 機關減衰

機關減衰는 크랭크軸, 피스톤 및 크로스헤드의 摩擦抵抗, 軸베어링의 衝擊損失等에 의해서 發生하며 이들에 對해서 B.I.C.E.R.A, Carter, Ker Wilson,

이 가시 ni : 分枝番號를 나타내는 添字

i : i 番 分枝의 i 番째 質點에 對한 添字

式(6)과 式(7)等으로 表示되는 모든 式을 모아서 매트릭스形式

으로 表示하면 다음과 같다.

$$[M]\{\ddot{\theta}\} + [C]\{\dot{\theta}\} + [K]\{\theta\} = \{f(t)\} \quad \dots \dots \dots \quad (8)$$

由, 여기서  $[J]$ ,  $[C]$ ,  $[K]$  는 각각 質量慣性矩量, 減衰係數矩阵, 刚性矩阵이며 由弹性刚性系数矩阵이라면  $n$  自由度에 對해  $n$  次의 正力弹性矩阵이 된다.  $\{\dot{\theta}\}$  와  $\{\ddot{\theta}\}$ 는 時間  $t$ 에 關한 1次, 2次導函數벡터이며  $\{f(t)\}$ 는 Fourier 級數로 表示可能한 任意의 一起振力벡터이다.

### 3.2.2 質量慣性 모멘트 배분률

此時，進步率向上量為補充水質而增加的使用量，境遇才會出現。因此，大略 40 ~ 60 % 的附加水質量을考慮하여 계산한다.

## 2·2·3 減衰係數매트릭스

推進軸系 비틀림振動計算에 있어서 가장 不確實한 要素는 減衰이며, 피스톤과 라이너의 摩擦抵抗, 潤滑作用 等 定量的 把握이 거의 不可能한 많은 因子를 包含하기 때문에 速度比例形減衰와 隣接質點의 變位에 比例하는 變位比例形減衰로 크게 區分한다.

여기서 速度比例形減衰는 機關, 프로펠러, 램퍼 및 發電機 等이며 變位比例形減衰는 軸하스테리시스, 彈性커플링 等이다.

## 1) 機關減衰

機關減衰는 크랭크軸, 피스톤 및 크로스헤드의 摩擦抵抗, 軸베어링의 衝擊損失等에 의해서 發生하며 이들에 對해서 B.I.C.E.R.A, Carter, Ker Wilson, Draminsky 및 Archer 等에 의해 理論式과 實驗式이 發表되었다.

그 中의 몇가지 式을 例示하면 다음과 같다.

## ① B.I.C.E.R.A의 公式

$$C_e = \alpha_b \omega I J_e \quad \dots \dots \dots \quad (9)$$

여기서  $\omega$  : 固有角振動數 (rad/sec),  $\alpha_b$  : 定數 (0.01 ~ 0.04)

$I$  : 定數 (直列機關  $I = 1$ , V型機關  $I = 2$ )

$J_e$  : 等價質量慣性모멘트 ( $Kg \cdot cm \cdot sec^2$ )

## ② Carter의 公式

$$C_e = \alpha_c I J_e^{0.3} \quad \dots \dots \dots \quad (10)$$

여기서  $\alpha_c$  : 定數 (13 ~ 34),  $J_e$  : 等價質量慣性모멘트 ( $Kg \cdot cm \cdot sec^2$ )

I : 定數 (直列機關 I = 1, V型機關 I = 2)

本論文에서는  $C_e = 2\varepsilon J\omega$  를 利用하였다.

이 가지  $J$  : 質量慣性矩量 ( $\text{Kg} \cdot \text{cm} \cdot \text{sec}^2$ )

$\omega$  : 固有角振動數 (rad/sec),  $\varepsilon$  : 減衰係數比 (0.013 ~ 0.030)

### 2) 軸히스테리시스減衰

軸材料가 弹性限度內의 應力を 받아서 變形할 때 變形의 大部 分은 軸에 變形에너지의 形態로서 眇蓄되나 그中の 一部分이 分子 摩擦에 의하여 消散되며 이것이 軸의 소음과 減衰이다. 應力이 軸 을 境遇에는 無視할 수 있으나 應力振幅이 增加하면 히스테리시스 부분의 面積이 增大하여 損失이 增大한다. 이를 等價點性減衰의 形 式으로 變形하여 表示하면 다음 式과 같아 된다.

$$C_b \equiv 0.1878441 \times 10^{-2} \text{ K}/\omega \quad (11)$$

이어서  $K$  : 비틀림剛性係數 ( $\text{Kg} \cdot \text{cm/rad}$ ),  $\omega$  : 角振動數 ( $\text{rad/sec}$ )

### 三、生理功能衰弱

프로펠러의 瞬間回轉速度에 對한 周期变动은  
프로펠러減衰係數는 그에 대응하는 값을 表示할 수 있다.

$$C_p = \alpha'_p (\frac{dT_p}{d\omega_p}) = \alpha'_p \lambda (\frac{T_p}{\omega_p}) = (-60/2\pi) \alpha'_p \lambda (\frac{T_p}{N}) \\ = \alpha'_p (\frac{T_p}{N}) \dots \dots \dots \quad (12)$$

여기서  $\alpha'$ ,  $\lambda$  : 係數,  $\omega_p$  : 亞羅摆動軸 角速度 (rad/sec)

$\alpha_p$  : 定數 (28.5 ~ 38), N : 每分當 回轉數 (rpm)

T : 프로펠러의 토오크 (Kg·cm)

#### 4) 發電機減衰

交流發電機에 의한 減衰는 無視하고 直流發電機에 對해서는 다음의 式으로 減衰係數를 求한다.

$$C_a = \alpha_a T_a / N_a \quad \dots \dots \dots \quad (13)$$

여기서  $\alpha_a$  : 係數 (124 ~ 135),  $N_a$  : 發電機軸의 回轉速度 (rpm)

$T_a$  : 發電機軸의 負荷托오크 (Kg·cm)

#### 5) 彈性커플링減衰

彈性커플링의 減衰作用은 커플링要素의 히스테리시스作用에 의한 것 이므로 다음 式을 利用한다.

$$C_{co} = K_{co} \nu / (2\pi\omega) \quad \dots \dots \dots \quad (14)$$

여기서  $K_{co}$  : 커플링要素의 動的비틀림스프링定數

$\nu$  : 損失係數 (0.1 ~ 1.5),  $\omega$  : 角振動數 (rad/sec)

#### 2·2·4 剛性係數매트릭스

크랭크軸의 비틀림剛性係數計算에 對하여 많은 經驗式 및 實驗式이 Geiger, Ker Wilson 等에 의해서 發表되었으며 理論式도 多數 發表되었다.

비틀림剛性係數는 各機關製作會社의 獨自의인 經驗式이 提示되기도 하며 計算의 便宜上 適切히 選擇하여 使用하며 一般的으로 影響係數로부터 求한다.

### 2.2.5 起振星<sup>Ω</sup> 与周期

起振率及減速率由內燃機之內壓力及往復質量慣性力而與機關之變動率及運動機器的量與變動量呈大別焉。一般的量由壓力之指標線圖呈示之，並由量與指標線圖之調和分析而接線力矩及功率之求得。此等圖樣由機關製造會社提示。

(第一軸分岐) 分岐軸系에 있어서 同型機關(機關型式, 排列, 回轉速度 等이 同一)이 減速齒車의 連結과 境遇에 依하여 左右機關의 爆發順序를 用以 位相을 考慮하여 並且로 計算의 便宜를 為據 左右機關中 基準機關을 擇하고, 나머지 軍械와 基準機關에 對한 爆發間隔은  $0^\circ \sim 180^\circ$  까지 考慮한다.

流速增加時起振動的強度是隨流速的增加而增加的。水流與河床的相互干涉時，會發生所謂「共振」現象，是當河床的平均推進速度與河床的振幅成比例時，表示此時利用河床的振幅，可使河床底成分數倍數次增加，即為 2 倍、3 倍次數成分增加，此時，其倍數次稱為「翼數」。現在一般的流量，利用河床的振幅，翼數倍數次的振幅與河床的振幅相比，其振幅之比數可由 Table 2 所示的值上。

起振率是常数(%)

倍數：翼數次	1 翼數次型別	2 翼數次型別	3 翼數次型別
1 > 翼數次	7.5	1.1	4.3
2 < 翼數次	2.1	1.4	0.8
3 < 翼數次	0.7	0.3	0.3

### 3. 모드解析法에 의한 分枝軸系 振動計算

式(8)에서 減衰項과 起振力項을 除去하면

$$[J]\{\dot{\theta}\} + [K]\{\theta\} = 0 \quad \dots \dots \dots \quad (15)$$

으로 되어 多自由度非減衰振動方程式이 되며 Jacobi 法에 의해 固有振動數와 固有모드를 求할 수 있다.

이들의 各固有振動數에 對한 모드벡터를 모아 n 次의 正方매트릭스를 만들면 振動型매트릭스  $[V]$ 가 된다.

모드벡터의 直交性에 의해

$$[V]^T [J] [V] = [m] \quad \dots \dots \dots \quad (16)$$

여기서  $[V]^T : [V]$ 의 轉置매트릭스,  $[m] : [J]$ 의 對角매트릭스  $\theta = \theta_0 \sin \omega t$  라 놓고 이것의 2 次導函數를 求한 다음, 式(15)에 代入하여 整理하면 다음과 같이 된다.

$$([K] - \omega^2 [J]) \{\theta_0\} = 0$$

$$[K] = \omega^2 [J] \quad \dots \dots \dots \quad (17)$$

$$[V]^T [K] [V] = \omega^2 [m] \quad \dots \dots \dots \quad (18)$$

이 結果로부터 非減衰自由振動方程式은 n 個의 非聯成振動方程式群으로 分解되며 다음과 같은 座標系에 對하여 n 個의 獨立한 振動方程式群이 된다.

$$\{\theta\} = [V] \{q\} \quad \dots \dots \dots \quad (19)$$

보드解析法에 依한 分技를 之는 推進軸系의 合成 비틀림振動計算에 關한 研究

여기서,  $\{q\}$  는 一般座標ベクト리이며 이 式에 의해 物理的 座標系 에로의

變換이 可能하다.

式 (16), (18) 및 式(19)를 式(8)에 適用하면

$$[m]\{\ddot{q}\} + [\bar{C}]\{\dot{q}\} + \omega^2[m]\{q\} = [V]^T\{f(t)\} \quad \dots \dots \dots (20)$$

여기서,  $[\bar{C}] = [V]^T[C][V]$  は 對角대 트릭스이다.

$$f(t) = f_i \cos(\omega_i t + \alpha_k + \beta_i) \quad \dots \dots \dots (21)$$

여기서  $f_i$  : i 次의 起振力하모닉斯係數에 의한 起振力

$\alpha_k$  : k 番째 실린더의 基準실린더에 對한 着火位相角

$\beta_i$  : 基準次數의 起振力하모닉斯에 對한 i 次 起振力의 位相角

$\omega_i$  : i 次의 起振力角振動數

式(20)의 r 번째 方程式을 살펴보면

$$\begin{aligned} m_r \ddot{q}_r + \bar{C}_r \dot{q}_r + \omega_r^2 m_r q_r &= V_{r1} f_{i1} \cos(\omega_i t + \alpha_1 + \beta_i) + \\ V_{r2} f_{i2} \cos(\omega_i t + \alpha_2 + \beta_i) + \dots + V_{rn} f_{in} \cos &(\omega_i t + \alpha_n + \beta_i) \end{aligned} \quad \dots \dots \dots (22)$$

右邊을 整理하면

$$\begin{aligned} \cos \omega_i t \sum_{k=1}^n V_{rk} f_{ik} \cos(\alpha_k + \beta_i) - \sin \omega_i t \sum_{k=1}^n V_{rk} f_{ik} \sin &(\alpha_k + \beta_i) = D_r \cos(\omega_i t + \phi_r) \end{aligned} \quad \dots \dots \dots (23)$$

$$\text{여기서, } D_r = \sqrt{A_r^2 + B_r^2}, \quad \phi_r = \tan^{-1}(A_r/B_r)$$

$$A_r = \sum_{k=1}^n V_{rk} f_{ik} \sin(\alpha_k + \beta_i)$$

$$B_r = \sum_{k=1}^n V_{rk} f_{ik} \cos(\alpha_k + \beta_i)$$

式(23)을 式(22)에 代入하여 풀면

$$q = Q_r \sin(\omega_i t + \phi_r - \psi_r)$$

$$Q_r = \frac{D_r}{\sqrt{(\omega_r^2 m_r - m_r \omega_i^2)^2 + (\bar{C}_r \omega_i)^2}}$$

$$\psi_r = \tan^{-1} \left( \frac{\bar{C}_r \omega_i}{\omega_r^2 m_r - m_r \omega_i^2} \right)$$

따라서 任意의 機關回轉數에 對하여 1次부터 必要한 次數까지의 起振力角振動數  $\omega_i$  를 바꾸어 가면서 各質點에 對하여 一般座標系의 振動振幅 및 位相角의 值들을 求한 후 이들의 值을 式(19)에 의 해 本來의 物理的인 值으로 變換한다.

計算된 各 質點의 振幅에 對해 位相을 考慮하여 一次부터 必要한 次數까지 合成한다.

#### 4. 電算프로그램

本 프로그램은 FORTRAN 77에 의해 작성되었으며 計算을 遂行하는데 使用된 電子計算機 機種은 Hewlett Packard 9000 Series 이다.

##### 4.1 計算對象

本 프로그램은 二基一軸分枝軸系를 對象으로 작성되었으며 自由度의 數는 45 個까지 許容하도록 하였다. 그 以上의 自由度에 對해서는 Dimension 을 擴張하여야 한다.

##### 4.2 入力資料

質量과 剛性를 別途로 計算하도록 하였으며 減衰係數計算은 電算 프로그램내에서 遂行하도록 하였다. 但오크하고너스係數는 B&W型 機關의 境遇와 Sulzer 型機關의 境遇에 該當 機關製作會社의 하모닉斯係數를 利用함 주 엔진은 프로그램을 작성하였다.

##### 4.3 平均有效壓力과 機關出力

平均有效壓力는 回轉數의 제곱에, 出力은 回轉數의 3乗에 比例하 는 것으로 보고 되는 計算을 行하였다.

##### 4.4 附加應力

各質點間의 附加應力는 隣接質點間의 變位差中에서 最大值得 剛性 을 곱하여 計算된 等價軸의 振動固有周期 속度比로 나누으로써 原

軸의 振動 토오크가 計算되며 그 點의 極斷面係數로 나눔으로써 求 한다. 計算應力의 範圍는 MCR의 0.2 ~ 1.2 倍의 모든 回轉數에 있어 各軸에 對한 것이다.

## 5. 實際軸系의 計算과 計測結果의 比較檢討

### 5·1 計算모델 및 入力資料

本 研究에 選定된 計算모델은 大宇造船(株)에서 建造한 128,000 톤 셔틀탱커(Shuttle Tanker)의 推進軸系를 擇하였다.

이 모델은 2臺의 主機, 變速기어裝置, 推進軸 및 프로펠러와 軸發電機로 이루어져 있다. 여기에서 變速기어裝置는 프로펠러와 軸發電機가 適當한 回轉數를 갖도록 變速을 시켜주며 複雜한 여러 形式의 運轉條件을 만들어내기 위해 空氣壓으로 制御되는 클러치를 內藏하고 있다. 또한 클러치의 瞬間的인 接續에 의한 衝擊을 緩和시켜 주기 위해 韓性커플링을 갖추고 있으며 細緻한 結合狀態는 Fig.3 과 같다.

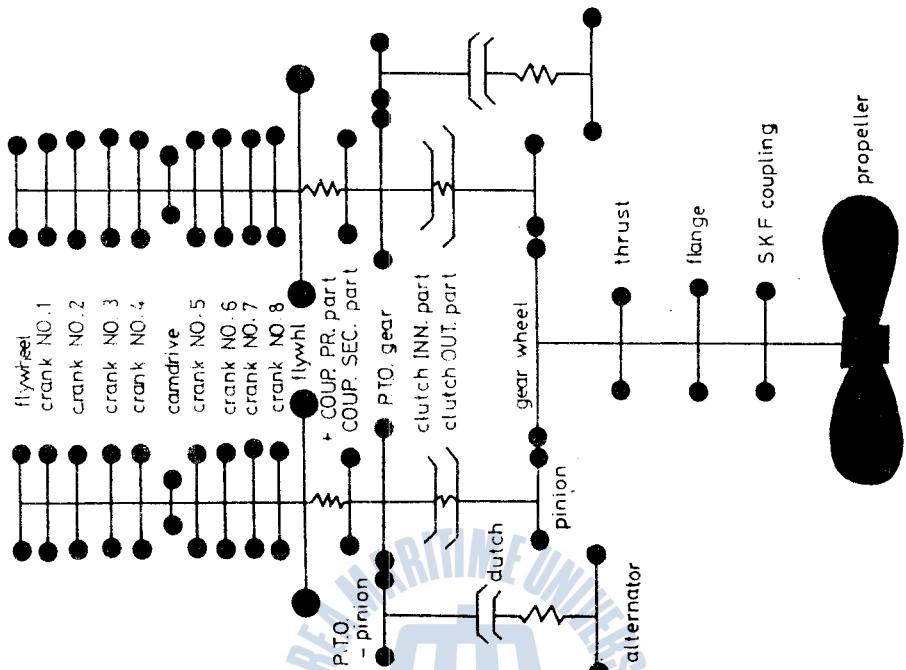


Fig.3 Mass and elastic system of model propulsion shafting

## 5·1·1 機關 軸 軸系

## 1) Main engine

- Type : 2 × HITACHI B & W 8L55GFCA
- No. of cylinder : 8 EA
- Cylinder bore × Stroke : 550 mm × 1,380 mm
- MCR : 10,500BHP × 155 rpm
- Firing order : 1 - 8 - 3 - 4 - 7 - 2 - 5 - 6
- Reciprocating mass weight : 2,740 Kg

- Conn. ratio : 0.3520

- PMI : 13 bar

## 2 ) Reduction gear

- Type : Lohmann & Stolterfoht , Nanilus GUS 2500

- Speed ratio : 1.94 : 1

## 3 ) Propeller

- Type : C.P.P.

- No. of blade : 4 EA

- Weight : 5,600 Kg

- Diameter : 5.2 m

## 4 ) 其 他

- Main flexible coupling : Spiroflex KJ 490 W

- Main clutch : Pneumastar KUG 490

- PTO coupling : Pneumaflex KAD 320 MD

- PTO alternator : ASEA Type GBA 800SL-6

## 5·1·2 入力資料

MASS NO.	MASS DISCRIPTION	INERTIA (KG SEC <sup>2</sup> CM)	STIFFNESS (KG CM/RAD)	FIR. ORDER	DIA. (CM)	SPEED RATIO
<b>*** MAIN BRANCH NO : 1</b>						
1 FLYWHEEL	38600.00	.9686600E+10	0	55.0	1.0000	
2 CRANK NO.1	24863.00	.7973700E+10	1	55.0	1.0000	
3 CRANK NO.2	24863.00	.7905400E+10	1	55.0	1.0000	
4 CRANK NO.3	24252.00	.7905400E+10	1	55.0	1.0000	
5 CRANK NO.4	24252.00	.1128440E+11	1	55.0	1.0000	
6 CAM DRIVE	8865.00	.1193150E+11	0	55.0	1.0000	
7 CRANK NO.5	24252.00	.7905400E+10	1	55.0	1.0000	
8 CRANK NO.6	24252.00	.7905400E+10	1	55.0	1.0000	
9 CRANK NO.7	24863.00	.7973700E+10	1	55.0	1.0000	
10 CRANK NO.8	24863.00	.9741600E+10	1	55.0	1.0000	
11 FLYWHL+COUPL PR	53314.00	.2425000E+08	0	0.0	1.0000	
12 COUPLING SEC.	12411.00	.2979500E+10	0	40.0	1.0000	
13 PTO + GEAR	15662.00	.9619000E+09	0	40.0	1.0000	
14 CLUTCH INNER.	7239.00	.16593000E+09	0	0.0	1.0000	
15 CLUTCH OUTER.	56735.00	.1123140E+11	0	49.3	1.0000	
16 PINION	19231.00	INFINITE	0	0.0	1.0000	
<b>*** MAIN BRANCH NO : 2</b>						
17 FLYWHEEL	38600.00	.9686600E+10	0	55.0	1.0000	
18 CRANK NO.1	24863.00	.7973700E+10	1	55.0	1.0000	
19 CRANK NO.2	24863.00	.7905400E+10	1	55.0	1.0000	
20 CRANK NO.3	24252.00	.7905400E+10	1	55.0	1.0000	
21 CRANK NO.4	24252.00	.1128440E+11	1	55.0	1.0000	
22 CAM DRIVE	8865.00	.1193150E+11	0	55.0	1.0000	
23 CRANK NO.5	24252.00	.7905400E+10	1	55.0	1.0000	
24 CRANK NO.6	24252.00	.7905400E+10	1	55.0	1.0000	
25 CRANK NO.7	24863.00	.7973700E+10	1	55.0	1.0000	
26 CRANK NO.8	24863.00	.9741600E+10	1	55.0	1.0000	

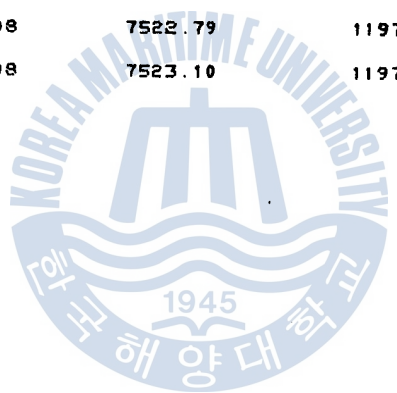
27	FLYWHL+COUPL. PR	53314.00	.2426000E+08	0	.0	1.0000
28	COUPLING SEC.	12411.00	.2979500E+10	0	40.0	1.0000
29	PTO - GEAR	15662.00	.9619000E+09	0	40.0	1.0000
30	CLUTCH INNER.	7239.00	.6593000E+09	0	.0	1.0000
31	CLUTCH OUTER.	56735.00	.1123140E+11	0	49.3	1.0000
32	PINION	19231.00	INFINITE	0	.0	1.0000
 *** SUB-BRANCH NO. : 1						
33	GEARWHEEL	175671.00	.1841640E+11	0	.5154	
34	THRUST	2441.00	.1360570E+11	0	.5154	
35	FLANGE	4379.00	.1651800E+10	0	.5154	
36	SKF-COUPLING	9120.00	.2388500E+10	0	.5154	
37	PROPELLER	1625845.00	INFINITE	0	.5154	
 *** SUB-BRANCH NO. : 2						
38	PTO - PINION	615.00	.1648700E+10	0	28.0	7.7400
39	CLUTCH(ENGAGED)	3262.00	.4210000E+07	0	18.0	7.7400
40	ALTERNATOR	5760.00	INFINITE	0	.0	7.7400
 *** SUB-BRANCH NO. : 3						
41	PTO-PINION NO.2	615.00	.1648700E+10	0	28.0	7.7400
42	CLUTCH (DISENG.)	2040.00	INFINITE	0	.0	7.7400

## 5·2 振動計算結果

### 5·2·1 固有振動數

MODE	OMEGA**2	OMEGA (RAD/SEC)	VIB. PER SEC (HZ)	VIB. PER MIN. (CPM)
1	7497470E+02	8.66	1.36	82.69
2	1079296E+03	10.39	1.65	99.21
3	4493018E+03	21.20	3.37	202.41
4	1128442E+04	33.59	5.35	320.78
5	2548911E+04	50.49	8.04	482.11
6	6726483E+04	82.02	13.05	783.19
7	2231996E+05	149.40	23.78	1426.65
8	2232025E+05	149.40	23.78	1426.66
9	8925973E+05	292.76	47.55	2852.99
10	9484272E+05	307.97	49.01	2940.86
11	9484283E+05	307.97	49.01	2940.86
12	2198262E+06	468.86	74.62	4477.25
13	2198269E+06	468.86	74.62	4477.26
14	2229765E+06	472.20	75.15	4509.22
15	2317534E+06	481.41	76.62	4597.11
16	2480611E+06	498.06	79.27	4756.10
17	2548013E+06	504.78	80.34	4820.28
18	3087143E+06	555.62	88.43	5305.79
19	3965710E+06	629.74	100.23	6013.57
20	3965711E+06	629.74	100.23	6013.57
21	4157689E+06	644.80	102.62	6157.40
22	5894800E+06	767.12	122.09	7325.51
23	5884800E+06	767.12	122.09	7325.51
24	8246191E+06	908.09	144.53	8671.58
25	8246191E+06	908.09	144.53	8671.58
26	9752519E+06	987.55	157.17	9430.40
27	9752519E+06	987.55	157.17	9430.40

28	<b>.1164710E+07</b>	<b>1079.22</b>	<b>171.76</b>	<b>10305.77</b>
29	<b>.1164710E+07</b>	<b>1079.22</b>	<b>171.76</b>	<b>10305.77</b>
30	<b>.1218255E+07</b>	<b>1103.75</b>	<b>175.67</b>	<b>10540.01</b>
31	<b>.1218255E+07</b>	<b>1103.75</b>	<b>175.67</b>	<b>10540.01</b>
32	<b>.1227922E+07</b>	<b>1108.12</b>	<b>176.36</b>	<b>10581.74</b>
33	<b>.1420569E+07</b>	<b>1191.88</b>	<b>189.69</b>	<b>11381.59</b>
34	<b>.2047749E+07</b>	<b>1431.00</b>	<b>227.75</b>	<b>13665.01</b>
35	<b>.2422557E+07</b>	<b>1556.46</b>	<b>247.72</b>	<b>14863.08</b>
36	<b>.2712516E+07</b>	<b>1646.97</b>	<b>262.12</b>	<b>15727.43</b>
37	<b>.3161234E+07</b>	<b>1777.99</b>	<b>282.98</b>	<b>16978.53</b>
38	<b>.3161234E+07</b>	<b>1777.99</b>	<b>282.98</b>	<b>16978.53</b>
39	<b>.1471674E+08</b>	<b>3836.24</b>	<b>610.56</b>	<b>36633.43</b>
40	<b>.5659237E+08</b>	<b>7522.79</b>	<b>1197.29</b>	<b>71837.41</b>
41	<b>.5659702E+08</b>	<b>7523.10</b>	<b>1197.34</b>	<b>71840.36</b>



## 5.2.2 振幅比

MODE NO.	1	2	3	4	5
FREQ. (VIB/MIN)	82.7	99.2	202.4	320.8	482.1
<b>*** MAIN BRANCH NO. 1</b>					
1 FLYWHEEL	1.0000	-4.2908	.1927	.0829	-.0051
2 CRANK NO. 1	.9997	-4.2890	.1924	.0825	-.0050
3 CRANK NO. 2	.9991	-4.2853	.1917	.0817	-.0049
4 CRANK NO. 3	.9983	-4.2801	.1907	.0807	-.0048
5 CRANK NO. 4	.9972	-4.2735	.1895	.0794	-.0046
6 CAM DRIVE	.9963	-4.2679	.1885	.0783	-.0045
7 CRANK NO. 5	.9954	-4.2623	.1874	.0771	-.0043
8 CRANK NO. 6	.9938	-4.2523	.1856	.0752	-.0040
9 CRANK NO. 7	.9919	-4.2410	.1835	.0730	-.0037
10 CRANK NO. 8	.9899	-4.2283	.1811	.0705	-.0034
11 FLYWHL+COUPL. PR	.9880	-4.2168	.1790	.0683	-.0031
12 COUPLING SEC.	.0739	1.4152	-8496	-.9904	1292
13 PTO - GEAR	.0664	1.4614	-8564	-.9944	1289
14 CLUTCH INNER.	.0400	1.4944	-4174	-1.4547	0907
15 CLUTCH OUTER	.0015	1.5408	.2251	-2.1082	0323
16 PINION	-.0008	1.5427	.2623	-2.1346	.0285
<b>*** MAIN BRANCH NO. 2</b>					
17 FLYWHEEL	-1.0911	-3.7845	-.0813	.3807	.0037
18 CRANK NO. 1	-1.0908	-3.7828	-.0811	.3790	.0037
19 CRANK NO. 2	-1.0901	-3.7796	-.0808	.3756	.0036
20 CRANK NO. 3	-1.0892	-3.7750	-.0804	.3708	.0035
21 CRANK NO. 4	-1.0880	-3.7692	-.0799	.3647	.0034
22 CAM DRIVE	-1.0870	-3.7643	-.0795	.3596	.0033
23 CRANK NO. 5	-1.0860	-3.7593	-.0790	.3545	.0032
24 CRANK NO. 6	-1.0843	-3.7505	-.0782	.3454	.0030
25 CRANK NO. 7	-1.0823	-3.7405	-.0774	.3352	.0028
26 CRANK NO. 8	-1.0800	-3.7293	-.0764	.3240	.0025
27 FLYWHL+COUPL. PR	-1.0780	-3.7192	-.0755	.3138	.0023
28 COUPLING SEC.	-.0806	1.2491	.3582	-4.5505	-.0949
29 PTO - GEAR	-.0725	1.2890	.3611	-4.5687	-.0946
30 CLUTCH INNER.	-.0463	1.3873	.3404	-3.6876	-.0500
31 CLUTCH OUTER	-.0980	1.5290	.3087	-2.3563	.0165
32 PINION	-.0057	1.5365	.3061	-2.2647	.0201
<b>*** SUB-BRANCH NO. 1</b>					
33 GEARWHEEL	-.0017	.7971	.1564	-1.1143	.0124
34 THRUST	-.0017	.8068	.1963	-1.0150	.0117
35 FLANGE	-.0017	.8197	.2502	-.8803	.0107
36 SKF-COUPLING	-.0019	.9265	.6942	.2319	.0024
37 PROPELLER	-.0020	1.0000	1.0000	1.0000	-.0033
<b>*** SUB-BRANCH NO. 2</b>					
38 PTO - PINION	.5145	1.3157	-.6.6357	-.7.6929	.9985
39 CLUTCH(ENGAGED)	.5147	1.3231	-.6.6688	-.7.6546	1.0000
40 ALTERNATOR	.5735	1.2848	-.17.3090	14.0735	-.4020
<b>*** SUB-BRANCH NO. 3</b>					
41 PTO-PINION NO.2	-.5613	9.9794	2.7957	-35.3811	-.7332
42 CLUTCH (DISENG.)	-.5614	9.9808	2.7972	-35.4305	-.7356

## 5·2·3 合成振動計算結果

\*\*\*\*\*  
 \*  
 \* SYNTHESIZED TORSIONAL STRESS CALCULATION \*  
 \*  
 \*\*\*\*\*

MASS NO.	MASS DESCRIPTION	TORSIONAL AMPLITUDE (DEG.)	PHASE ANGLE (DEG.)	VIBRATORY TORQUE (KG-CM)	TORSIONAL STRESS (KG/CM <sup>2</sup> )
<b>*** MAIN BRANCH NO. : 1</b>					
1 FLYWHEEL		.2132			
2 CRANK NO. 1		.1974		.2683994E+07	82.32
3 CRANK NO. 2		.1559		.6483943E+07	201.06
4 CRANK NO. 3		.1091		.7722088E+07	239.45
5 CRANK NO. 4		.0584		.7877561E+07	251.90
6 CAM DRIVE		.0231		.8672957E+07	277.33
7 CRANK NO. 5		.0379		.8681081E+07	266.25
8 CRANK NO. 6		.0852		.8323860E+07	266.17
9 CRANK NO. 7		.1370		.8191148E+07	261.92
10 CRANK NO. 8		.1843		.7314703E+07	226.82
11 FLYWHL+COUPL. PR		.2039		.3406483E+07	105.63
12 COUPLING SEC.		.0020		.8688752E+05	.00
13 PTO - GEAR		.0023		.8921854E+05	7.10
14 CLUTCH INNER.		.0023		.2109068E+05	1.68
15 CLUTCH OUTER.		.0031		.8218390E+05	.00
16 PINION		.0011		.1535181E+05	.65
				.3461066E+08	.00
<b>*** MAIN BRANCH NO. : 2</b>					
17 FLYWHEEL		.1808			
18 CRANK NO. 1		.1655		.2748137E+07	84.29
19 CRANK NO. 2		.1322		.5614757E+07	174.10
20 CRANK NO. 3		.0971		.6640599E+07	205.91
21 CRANK NO. 4		.0581		.6623404E+07	211.79
22 CAM DRIVE		.0270		.7342195E+07	234.78
23 CRANK NO. 5		.0342		.7365609E+07	225.90
				.7329617E+07	234.37

## 豆豆解析法에 依한 分枝을 芟는 推進軸系의 合成 비틀림振動計算에 關한 研究

24 CRANK NO. 6	.0802	.7219250E+07	230.85
25 CRANK NO. 7	.1159	.6039470E+07	187.27
26 CRANK NO. 8	.1561	.3511602E+07	108.89
27 FLYWHL+COUPL. PR	.1750	.7767557E+05	.00
28 COUPLING SEC.	.0028	.7898357E+05	6.29
29 PTO - GEAR	.0036	.2082446E+05	1.66
30 CLUTCH INNER	.0033	.2227245E+05	.00
31 CLUTCH OUTER	.0032	.1208954E+05	.51
32 PINION	.0032	.1139462E+05	.00
 *** SUB-BRANCH NO. : 1			
33 GEARWHEEL	.0016	.3099632E+05	.63
34 THRUST	.0016	.3106901E+05	.63
35 FLANGE	.0015	.3118362E+05	.74
36 SKF-COUPLING	.0011	.3117263E+05	.63
37 PROPELLER	.0015	.5156431E+07	.00
 *** SUB-BRANCH NO. : 2			
38 PTO - PINION	.0180	.9494966E+04	2.20
39 CLUTCH(ENGAGED)	.0182	.1561466E+04	1.36
40 ALTERNATOR	.0146	.4930713E+07	.00
 *** SUB-BRANCH NO. : 3			
41 PTO-PINION NO. 2	.0283	.7036941E+04	1.63
42 CLUTCH (DISENG.)	.0285		

## 5·3 實測結果와 計算結果와의 比較檢討

選定된 모델의 計測이 DnV에 의해 遂行되었으며 스트레인 케이지와 텔레메트릭裝置(Telemetric Equipment)를 利用하여 各要素에서 發生하는 振動토오크를 計測하였다.

Fig. 4에 計算結果와 計測結果를 나타내었다. 이들의 傾向은 一致하고 있으며 共振時의 應力은 거의一致하고 있다.



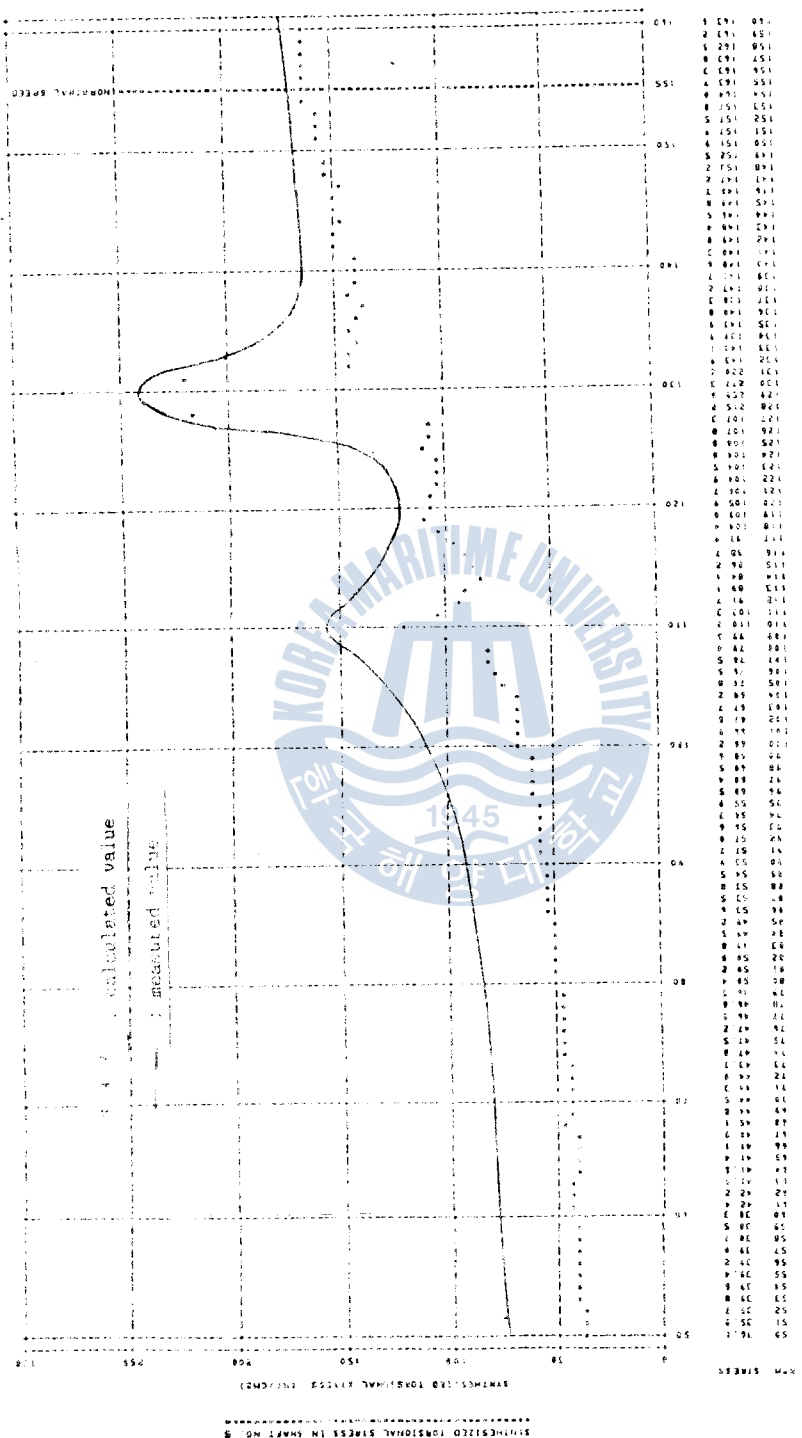


Fig. 4. Synthesized torsional stresses in shaft No. 5  
(curve No. 4, cumulative)

Main engine speed(rpm)

## 6. 結論

모드解析法에 의해 分枝를 갖는 推進軸系의 合成強制비 틀림振動解析을 理論的으로 遂行하고, 이의 計算프로그램을 開發하였다. 開發된 電算프로그램의 實用性과 信賴性을 確認하기 為하여 二機一軸式 推進軸系를 갖는 實船에 對하여 計算을 遂行하고 實測值와 比較한 結果兩者間에 良好한 一致를 보았다. 이로써 앞으로 分枝軸系를 갖는 船舶의 建造에 있어서 軸系의 初期設計段階에서 振動特性을 解析할 수 있게 되었으며 따라서 信賴性 있는 軸系를 設計할 수 있

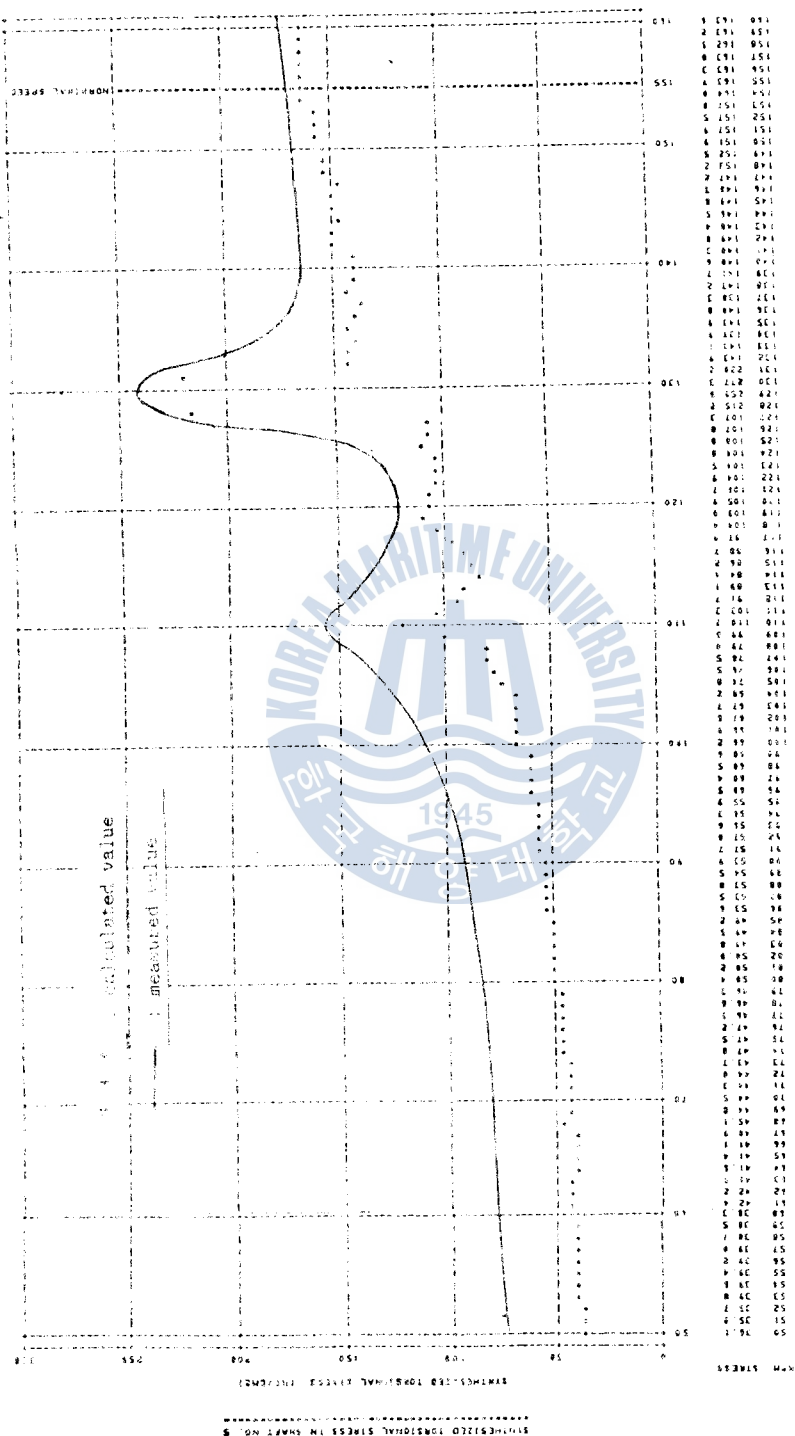


Fig. 4 Synthesized tension stresses in shaft No. 5  
(Graph No. 4 — Comparative )

## 6. 結論

모드解析法에 의해 分枝를 갖는 推進軸系의 合成強制비 틀림振動解析을 理論的으로 遂行하고, 이의 計算프로그램을 開發하였다. 開發된 電算프로그램의 實用性과 信賴性을 確認하기 為하여 二機一軸式 推進軸系를 갖는 實船에 對하여 計算을 遂行하고 實測值와 比較한 結果兩者間에 良好한 一致를 보았다. 이로써 앞으로 分枝軸系를 갖는 船舶의 建造에 있어서 軸系의 初期設計段階에서 振動特性을 解析할 수 있게 되었으며 따라서 信賴性 있는 軸系를 設計할 수 있게 되었다. 結果的으로 우리나라에 있어서도 經濟的이며 高性能의 船舶建造가 可能하게 됨으로써 國內造船所의 受注能力을 向上시키는데 많은 도움을 줄 수 있을 것으로 생각된다.

## 參 考 文

1. Hiojung Jeon, "Theoretical Analysis of the Coupled Torsional - Axial Undamped Vibration of the Marine Diesel Engine Shafting", Japan Ship & Marine Engine Vol. 4 No. 5, 1969.
2. BICERA, "A Handbook on Torsional Vibration", Cambridge University Press, 1958
3. Den Hartog J.P., "Mechanical Vibration", 4th Ed., McGraw-Hill Book Co., 1958
4. Ker Wilson, "Practical Solution of Torsional Vibration Problems", Chapman & Hall Ltd., London, Vol. 1 (1956), Vol. 2 (1963), Vol. 3 (1965), Vol. 4 (1968), Vol. 5 (1969)
5. Shan S. Kuo, "Computer Applications of Numerical Method", Addison-Wesley, 1972
6. J. Derek Smith, "Gear and their Vibration", Marcel Dekker, 1983
7. Ahid D. Nashif, "Vibration Damping", John Wiley & Sons, Inc., 1985
8. Singiresu S. Rao, "Mechanical Vibrations", Addison-Wesley, 1986
9. 小山陽一, 高須續, "高彈性接手採用ディーゼル機関のねじり振動特性の考察", 住友重機報 第22卷 第66號, 1974, pp.31-43.
10. 全孝重, "舶用디젤機관 推進軸系의 強制減衰비틀림振動에 關한 研究", 第4卷 第2號, 韓國船用機關學會誌, 1980
11. 全孝重, "船舶動力傳達裝置", 太和出版社, 1986

12. 李康福 外 2名, 모오드解析法에 依한 船用디젤機關 推進軸系의  
合成비틀림振動에 關한 研究”, 韓國船用機關學會誌 第9卷 第2  
號, pp.61-71, 1985
13. 朴容男, 全孝重, “기계적임피던스法에 依한 船用디젤機關 推進軸  
系의 合成비틀림 振動計算에 關한 研究”, 韓國船用機關學會誌  
第10卷 第2號, pp.46-65, 1986

